

2.5 Propagadores e Integrais de Caminhos de Feynman

A função de onda correspondente à evolução temporal da

Ket $|a\rangle$ é dada por

$$\Psi(x'', t) = \langle x'' | e^{\frac{-iH(t-t_0)}{\hbar}} | a, t_0 \rangle.$$

Insistindo numa identidade do tipo $\int |x'\rangle \langle x'| dx' = 1$ podemos escrever

$$\begin{aligned} \Psi(x'', t) &= \int \langle x'' | e^{\frac{-iH(t-t_0)}{\hbar}} | x' \rangle \langle x' | a, t_0 \rangle dx' \\ &\equiv \int K(x'', t; x', t_0) \Psi_a(x', t_0) dx' \end{aligned}$$

onde $K(x'', t; x', t_0) \equiv \langle x'' | e^{\frac{-iH(t-t_0)}{\hbar}} | x' \rangle$ é o propagador, ou propagator kernel, que é independente de $|a\rangle$ e pode ser usado para propagar qualquer estado inicial.

PROPRIEDADES

1) Decomposição orthonormal. Se $|a\rangle$ são auto-estados simétricos de

$A \in H$, $[A, H] = 0$ com $\sum_a |a\rangle \langle a| = 1$ em H

$$K(x'', t''; x', t') = \sum_{a'} \langle x'' | a' \rangle \langle a' | x' \rangle e^{-\frac{iE_a(t''-t')}{\hbar}}$$

2) Traço. Tomando $x'' = x'$ e integrando em x'

$$\begin{aligned} G(t''-t') &\equiv \int K(x', t''; x', t') dx' = \sum_{a'} \int |\langle x' | a' \rangle|^2 dx' e^{-\frac{iE_a(t''-t')}{\hbar}} \\ &= \sum_{a'} e^{-\frac{iE_a(t''-t')}{\hbar}} = \text{soma sobre estados} \end{aligned}$$

3) Função de Partículas - Estendendo t para o pleno completo

69

$$\text{e domínio } \frac{it}{\hbar} = \beta$$

$$G(-i\hbar\beta) = \sum_{a'} e^{-E_a \beta} = Z(\beta)$$

4) Representação da energia

$$\begin{aligned}\tilde{G}(E) &\equiv -\frac{i}{\hbar} \int G(t) e^{\frac{it}{\hbar}(E+i\varepsilon)} dt \quad \text{com } \varepsilon \rightarrow 0 \\ &= -\frac{i}{\hbar} \sum_{a'} \int_0^\infty e^{\frac{it}{\hbar}[E-E_{a'}+i\varepsilon]} dt = \sum_{a'} \frac{1}{E-E_{a'}+i\varepsilon}\end{aligned}$$

5) $K(x'', t''; x', t')$ pode ser interpretado como a função da onda

$\psi(x', t')$ do estado inicial $|x', t'\rangle$ evoluído por um tempo $t''-t'$.

$$\text{Assim vemos que } K \text{ satisfaaz a equação de Schrödinger com} \\ \lim_{t'' \rightarrow t'} K(x'', t'', x', t') = \langle x'' | x' \rangle = \delta^3(x''-x').$$

Outra maneira de ver esse resultado é a seguinte: definimos

o operador de evolução temporal como

$$U(t) = \begin{cases} e^{-iHt/\hbar} & \text{se } t \geq 0 \\ 0 & \text{se } t < 0 \end{cases}$$

Para $t \geq 0$ U satisfaz $i\hbar \frac{\partial U}{\partial t} = HU$, mas há uma descontinuidade intensidade \perp em $t=0$. Ent

$$i\hbar \frac{\partial U}{\partial t} - HU = i\hbar S(t) .$$

Integrando a equação de $-E + \epsilon$ vemos que

$$i\hbar \int_{-\epsilon}^{\epsilon} \frac{\partial U}{\partial t} dt - \underbrace{\int_{-\epsilon}^{\epsilon} HU dt}_{\rightarrow 0} = i\hbar$$

$$i\hbar [U(\epsilon) - U(-\epsilon)] = i\hbar \quad \checkmark$$

Multiplicando por $\langle x'' |$ à esquerda e $| x' \rangle$ à direita obtemos

$$i\hbar \frac{\partial}{\partial t} K(x'', t'; x', t) - H'' K(x'' t'; x' t') = i\hbar \delta(t'' - t') \delta^3(x'' - x')$$

Exemplos

(1) A partícula livre. Usando a decomposiçãopectral com $A = P$,

$$H = \frac{P^2}{2m} - (1-D) \text{ termo} \quad P|P'\rangle = P'|P'\rangle$$

$$H|P'\rangle = \frac{P'^2}{2m}|P'\rangle$$

$$K = \int_{-\infty}^{+\infty} dP' \langle x'' | P' \rangle \langle P' | x' \rangle e^{-\frac{iP'^2}{2m\hbar}(t'' - t')} = \frac{1}{2\pi\hbar} \int e^{\frac{ip'}{\hbar}(x'' - x') - \frac{iP'^2}{2m\hbar}(t'' - t')} dP'$$

completando o quântico: $\Delta t \equiv t'' - t' \quad \Delta x \equiv x'' - x'$

$$-\frac{iP'^2}{2m\hbar}\Delta t + \frac{iP'\Delta x}{\hbar} = -\frac{i\Delta t}{2m\hbar} \left[P' - \frac{im\Delta x}{\Delta t} \right]^2 + \frac{im\Delta x^2}{2k\Delta t}$$

$$\int_{-\infty}^{+\infty} e^{-i\alpha z^2} dz = \sqrt{\frac{\pi}{i\alpha}}$$

$$K(x'', t''; x', t') = \frac{1}{2\pi\hbar} \sqrt{\frac{2m\pi\hbar}{i\Delta t}} e^{-\frac{i}{\hbar} \int_{t'}^{t''} \frac{2m\pi\hbar}{i\Delta t} dt}$$

$$= \sqrt{\frac{m}{2\pi i\hbar(t''-t')}} e^{-\frac{i}{\hbar} \int_{t'}^{t''} \frac{2m\pi\hbar}{i\Delta t} dt}$$

$$\frac{i}{\hbar} \left[\frac{m}{2} \left(\frac{x''-x'}{t''-t'} \right)^2 \right] (t''-t')$$

$$\frac{i}{\hbar} \left[\frac{m}{2} \frac{(x''-x')^2}{t''-t'} \right]$$

(2) Usamos nowamente a decomposição

espectral com

$$M_n(x) = \left(\frac{1}{2^n n!} \right) \left(\frac{mw}{\pi\hbar} \right)^{\frac{1}{4}} e^{-\frac{mwx^2}{2\hbar}} H_n(\sqrt{\frac{mw}{\hbar}} x)$$

↑ polinômio de Hermite

Os polinômios de Hermite satisfazem a seguinte relação:

$$\frac{1}{\sqrt{1-\xi^2}} e^{-\frac{(\xi^2+n^2-2\xi n\xi)}{(1-\xi^2)}} = e^{-\frac{(\xi^2+n^2)}{1-\xi^2}} \sum_{n=0}^{\infty} \left(\frac{\xi^n}{z^n n!} \right) H_n(\xi) H_n(n)$$

Então

$$K = \sum_n \frac{1}{z^n n!} \left(\frac{mw}{\pi\hbar} \right)^{\frac{1}{2}} e^{-\frac{mw(x''^2+x'^2)}{2\hbar}} H_n(\sqrt{\frac{mw}{\hbar}} x'') H_n(\sqrt{\frac{mw}{\hbar}} x') e^{-iw(n+\frac{1}{2})\Delta t}$$

USANDO A fórmula acima com $\xi = \sqrt{\frac{mw}{\hbar}} x''$; $n = \sqrt{\frac{mw}{\hbar}} n'$; $\xi = e^{-iw\Delta t}$

$$K = \left(\frac{mw}{\pi\hbar} \right)^{\frac{1}{2}} e^{-\frac{mw(x''^2+x'^2)}{2\hbar} - \frac{iw\Delta t}{2}} \sum_n \frac{\xi^n}{z^n n!} H_n(\xi) H_n(n)$$

$$\underbrace{\left(\frac{mw}{\hbar} (x''^2+x'^2) \right)}_{e^{-\frac{(x''^2+n^2-2\xi n\xi)}{1-\xi^2}}} - \underbrace{\frac{e^{-\frac{(\xi^2+n^2-2\xi n\xi)}{1-\xi^2}}}{\sqrt{1-\xi^2}}}_{e^{-\frac{(\xi^2+n^2)}{1-\xi^2}}}$$

Os termos simplificam da seguinte forma:

$$1 - \bar{\zeta}^2 = 1 - e^{-i\omega B t} = e^{-i\omega B t} (e^{i\omega B t} - e^{-i\omega B t}) = 2ie^{-i\omega B t} \sin \omega B t$$

$$\left(\frac{mw}{\pi h}\right)^{1/2} \frac{e^{-i\omega B t/h}}{\sqrt{1-\bar{\zeta}^2}} = \sqrt{\frac{mw}{2\pi h \sin \omega B t}}$$

$$\begin{aligned} & -\frac{mw}{2h} (x''^2 + x'^2) + \frac{mw}{h} (x''^2 + x'^2) - \frac{(x''^2 + x'^2 - 2x''x')\bar{\zeta}}{1-\bar{\zeta}^2} \\ &= +\frac{mw}{2h(1-\bar{\zeta}^2)} \left[(x''^2 + x'^2)(1-\bar{\zeta}^2) - 2[x''^2 + x'^2 - 2x''x']\bar{\zeta} \right] \\ &= +\frac{mw}{4ih e^{-i\omega B t} \sin \omega B t} \left[-(x''^2 + x'^2) \underbrace{(1+\bar{\zeta}^2)}_{2e^{-i\omega B t}} + 4x''x' \bar{\zeta} \right] \\ &= \frac{imw}{2h \sin \omega B t} \left[(x''^2 + x'^2) \cos \omega B t - 2x''x' \right] \end{aligned}$$

O resultado final é:

$$K(x'', t''; x', t') = \sqrt{\frac{mw}{2\pi h \sin \omega B t(t'-t')}} \exp \left\{ \frac{imw}{2h \sin \omega B t(t'-t')} \left[(x''^2 + x'^2) \cos(\omega B t'' - \omega B t') - 2x''x' \right] \right\}$$

(3) O oscilador harmônico é representado pelo operador

$$K(x'', t''; x', t') = \langle x'' | e^{-\frac{iH(t''-t')}{\hbar}} | x' \rangle = e^{-\frac{i\omega B t}{2}} \langle x'' | x' e^{-i\omega B t} \rangle$$

(veja na pg 5)

Dados $|z_1\rangle$ e $|z_2\rangle$, seu overlap é

$$\begin{aligned} \langle z_1 | z_2 \rangle &= e^{-\frac{|z_1|^2}{2} - \frac{|z_2|^2}{2}} \sum_{n,m} \frac{z_1^*{}^n}{n!} \frac{z_2^m}{m!} \langle 0 | a^n a^m | 0 \rangle \\ &= e^{-\frac{|z_1|^2}{2} - \frac{|z_2|^2}{2}} \left\{ \langle 0 | + z_1^* \langle 1 | + \frac{z_1^{*2} \sqrt{2}}{2!} \langle 2 | \dots \right\} \left\{ | 0 \rangle + z_2 | 1 \rangle + \frac{z_2^2 \sqrt{2}}{2!} | 2 \rangle + \dots \right. \\ &\quad \left. 1 + z_1^* z_2 + \frac{1}{2} (z_1^* z_2)^2 + \frac{1}{3!} (z_1^* z_2)^3 + \dots \right\} \\ &= e^{z_1^* z_2 - \frac{|z_1|^2}{2} - \frac{|z_2|^2}{2}} \end{aligned}$$

Assim

$$K(z''t''; z't') = e^{-\frac{i\omega D t}{2}} \exp \left\{ z''^* z' e^{-\frac{i\omega D t}{2}} - \frac{|z'|^2}{2} - \frac{|z''|^2}{2} \right\}$$

Integrals de Trajetória

propriedade de composição: o intervalo $t \rightarrow t'''$ pode ser dividido em $t \rightarrow t'' \rightarrow t'''$ da seguinte forma

$$\begin{aligned} \langle x''' | e^{-\frac{iH(t'''-t')}{\hbar}} | n' \rangle &= \langle x''' | e^{-\frac{iH(t''-t'')}{\hbar}} e^{-\frac{iH(t''-t')}{\hbar}} | n' \rangle \\ &= \int dx'' \langle x''' | e^{-\frac{iH(t'''-t'')}{\hbar}} | x'' \rangle \langle x'' | e^{-\frac{iH(t''-t')}{\hbar}} | n' \rangle \end{aligned}$$

$$\langle x'''t''', x't' \rangle = \int K(x'''t''', x''t'') K(x''t'', x't') dx''$$

desde que $t' < t'' < t'''$

Vejam que a composição envolve uma integral sobre todos os valores intermediários x'' .

Uma representação interessante para o propagador é da forma de representação de Heisenberg. Lembrar que o operador posição é dinâmico

$$x^H(t) = e^{-i\hat{H}t/\hbar}$$

e seu auto-valor é

$$|x't'\rangle = e^{i\hat{H}t'/\hbar} |x'\rangle . \text{ Então}$$

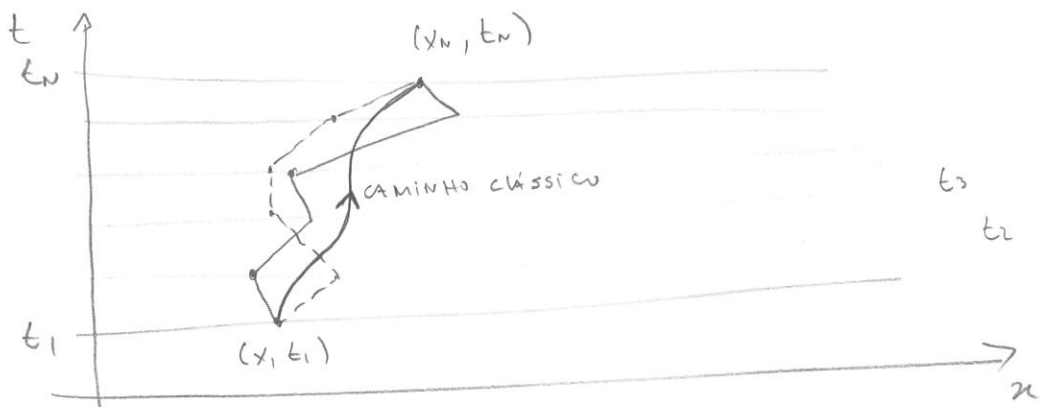
$$\langle x''t'' | x't' \rangle = \langle x'' | e^{-i\hat{H}t''/\hbar} e^{i\hat{H}t'/\hbar} | x' \rangle \equiv \langle x''t'' | x't' \rangle$$

A ideia de integral de trajetórias é reduzir a propagador à uma composição de muitas propagações infinitesimais. Essas, por sua vez, podem ser calculadas diretamente. Como teremos que considerar todo o caminho intermediário, e se interpretarmos cada sequência deles como uma trajetória, teremos a soma sobre trajetórias compostas o propagador

Seja $x'' = x_N ; x' = x_1 ; \epsilon = \frac{N-1}{t''-t'} = \text{intervalo de tempo}$
 $t'' = t_N ; t' = t_1$

Então

$$\langle x_N t_N | x_1 t_1 \rangle = \int dx_{N-1} \dots dx_2 \langle x_N t_N | x_{N-1} t_{N-1} \rangle \dots \langle x_2 t_2 | x_1 t_1 \rangle$$



$$\langle x_N t_N | x_{N-1} t_{N-1} \rangle \equiv \langle x_N | e^{-i\hat{H}\epsilon/\hbar} | x_{N-1} \rangle$$

Quânticamente todos os caminhos devem ser incluídos.

Classicamente, dados (x, t_1) e (x_{n+1}) , só há um (ou alguns) caminhos possíveis dados pelo Princípio Variacional de Hamilton:

$$\delta S = 0$$

$$S(x_{n+1}, x, t_1) = \int_{x, t_1}^{x_{n+1}, t_n} L(x, \dot{x}) dt$$

$$L = \frac{m\dot{x}^2}{2} - V(x)$$

Cálculo do Propagador infinitesimal

Para $H = \frac{p^2}{2m} + V(x)$ termo

$$\begin{aligned} \langle x_n | e^{-\frac{iH\epsilon}{\hbar}} | x_{n-1} \rangle &= \int \langle x_n | e^{-\frac{i\epsilon}{\hbar}(p^2/2m + V(x))} | p' \rangle \langle p' | x_{n-1} \rangle dp' \\ &= \int \langle x_n | 1 - \frac{i\epsilon}{\hbar}(p^2/2m + V(x)) | p' \rangle \langle p' | x_{n-1} \rangle dp' \\ &= \int \langle x_n | p' \rangle \langle p' | x_{n-1} \rangle \left[1 - \frac{i\epsilon(p^2/2m + V(x_n))}{\hbar} \right] dp' \\ &= \frac{1}{2\pi\hbar} \int e^{\frac{i}{\hbar}p'(x_n - x_{n-1}) - \frac{i\epsilon p'^2}{2m\hbar} - \frac{i\epsilon V(x_n)}{\hbar}} dp' \quad (\text{veja B7}) \end{aligned}$$

$$= \sqrt{\frac{m}{2\pi i\hbar\epsilon}} \exp \left\{ \frac{i}{4\frac{\epsilon}{\hbar}} - \frac{(x_n - x_{n-1})^2}{\hbar^2} - \frac{i\epsilon V(x_n)}{\hbar} \right\}$$

$$= \sqrt{\frac{m}{2\pi i\hbar\epsilon}} \exp \left\{ \frac{i}{\hbar}\epsilon \left[\frac{m}{2} \left(\frac{x_n - x_{n-1}}{\epsilon} \right)^2 - V(x_n) \right] \right\}$$

Vemos que o expoente é a ~~ação~~ classe clássica (Ação) ao longo

do segmento reto $x_{n-1} - x_n$:

$$\langle x_n | e^{\frac{-iH\epsilon}{\hbar}} | x_{n-1} \rangle = \sqrt{\frac{m}{2\pi i\hbar\epsilon}} e^{\frac{i}{\hbar} S(n, n-1)}$$

$$\begin{aligned} \langle x_{ntn} | x_1, t_1 \rangle &= \lim_{N \rightarrow \infty} \left(\frac{m}{2\pi i\hbar\epsilon} \right)^{\frac{N-1}{2}} \int dx_2 \dots dx_{N-1} e^{\frac{i}{\hbar} \sum_{n=2}^N S(n, n-1)} \\ &\equiv \int \mathcal{D}[x(t)] e^{\frac{i}{\hbar} \int_{t_1}^{t_N} L(x, \dot{x}) dt} \end{aligned}$$

Exemplo: A partícula livre

$$\begin{aligned} \langle x_{ntn} | x_1, t_1 \rangle &= \lim_{N \rightarrow \infty} \left(\frac{m}{2\pi i\hbar\epsilon} \right)^{\frac{N-1}{2}} \int dx_2 \dots dx_{N-1} e^{\frac{i}{\hbar} \sum_{n=2}^N \frac{m}{2\epsilon} (x_n - x_{n-1})^2} \\ &- \text{integral sobre } x_2 : \int dx_2 e^{\underbrace{\frac{cm}{2\epsilon h} [(x_2 - x_1)^2 + (x_3 - x_2)^2]}_{2x_2^2 - 2x_2(x_3 + x_1) + x_3^2 + x_1^2}} \times e^{\frac{i}{\hbar} \sum_{n=2}^N \frac{m}{2\epsilon} (x_n - x_{n-1})^2} \end{aligned}$$

$$= \left(\frac{i\pi\epsilon\hbar}{m} \right)^{1/2} \exp \left\{ -\frac{im(x_3 + x_1)^2}{4\epsilon\hbar} + \frac{im(x_1^2 + x_3^2)}{2\epsilon h} - \frac{i}{\hbar} \sum_{n=2}^N \frac{m}{2\epsilon} (x_n - x_{n-1})^2 \right\}$$

$$= \left(\frac{i\pi\epsilon\hbar}{m} \right)^{1/2} \exp \left\{ \frac{i}{\hbar} \frac{m}{4\epsilon} (x_3 - x_1)^2 + \frac{i}{\hbar} \frac{m}{2\epsilon} \sum_{n=2}^N (x_n - x_{n-1})^2 \right\}$$

- integral sobre x_3 :

$$\left(\frac{i\pi\epsilon\hbar}{m}\right)^{1/2} \int dx_3 e^{\frac{cm}{4\epsilon\hbar}(x_3-x_1)^2 + \frac{im}{2\hbar t}(x_4-x_3)^2 + \frac{im}{2\hbar t} \sum_{n=5}^N (x_n-x_{n-1})^2}$$

$$\downarrow$$

$$\frac{3im}{4\epsilon\hbar} x_3^2 - \frac{im}{\hbar t} x_3 (x_4 + \frac{x_1}{2}) + \frac{imx_1^2}{4\hbar t} + \frac{imx_4^2}{2\hbar t} -$$

$$= \left(\frac{i\pi\epsilon\hbar}{m}\right)^{1/2} \left(\frac{4i\pi\epsilon\hbar}{3m}\right)^{1/2} \exp\left\{\underbrace{-\frac{im}{12\hbar t}(2x_4+x_1)^2}_{\frac{im}{6\hbar t}(x_4-x_1)^2} + \frac{imx_1^2}{4\hbar t} + \frac{imx_4^2}{2\hbar t} + \sum_{n=5}^N \frac{im}{2\hbar t}(x_n-x_{n-1})^2\right\}$$

O prefator da integral é $\left(\frac{m}{2\pi i\hbar t}\right)^{\frac{n-1}{2}}$. Como

temos $(n-2)$ integrais, a cada integral podemos usá-las em seu lema,

e usando isso obtemos:

e no final sobrará um.

$$\left(\frac{i\pi\epsilon\hbar}{m}\right)^{1/2} \left(\frac{4i\pi\epsilon\hbar}{3m}\right)^{1/2} \left(\frac{m}{2\pi i\hbar t}\right)^{1/2} \left(\frac{m}{2\pi i\hbar t}\right)^{1/2} = \frac{1}{\sqrt{3}}$$

e

$$K = \lim_{N \rightarrow \infty} \left(\frac{m}{2\pi i\hbar t}\right)^{\frac{1}{2}} \left(\frac{m}{2\pi i\hbar t}\right)^{\frac{n-3}{2}} \int dx_4 \dots dx_{N-1} \exp\left\{\frac{im}{3 \cdot 2\hbar t}(x_4-x_1)^2 + \sum_{n=5}^N \frac{im}{2\hbar t}(x_n-x_{n-1})^2\right\}$$

Repetindo o processo chegamos a

$$\lim_{N \rightarrow \infty} \left(\frac{m}{2\pi i\hbar(N-1)t}\right)^{1/2} \exp\left\{\frac{im(x_N-x_1)^2}{2(N-1)\hbar t}\right\}$$

$$= \sqrt{\frac{m}{2\pi i\hbar t}} e^{\frac{im(x_N-x_1)^2}{2\hbar t}}$$

Límite Clássico

Da expressão formal

$$\langle x_{n(t)} | x_{i(t)} \rangle = \int D[x(t)] e^{\frac{i}{\hbar} S[x(t)]}$$

Vemos que, para $S \gg \hbar$, caminhos vizinhos, com A.G.P.
muito próximos, acabam tendo contribuições muito diferentes. Se

$$\begin{array}{ccc} \text{Caminho 1} & \rightarrow & S_1 \\ \text{Caminho 2} & \rightarrow & S_1 + \Delta S \\ e^{\frac{i}{\hbar} S_1} + e^{\frac{i}{\hbar} S_1 + \frac{i}{\hbar} \Delta S} & = & e^{\frac{i}{\hbar} S_1} [1 + e^{\frac{i}{\hbar} \Delta S}] \end{array}$$

Se $\frac{\Delta S}{\hbar} \gg 1$ essa fase é essencialmente alternativa e sua soma tende a se anular. No entanto, se existir um caminho estacionário, onde $\Delta S = 0$, trajetórias vizinhas vão ter a mesma A.G.P. em primeira ordem, e vão somar construtivamente suas contribuições. Mas esse é o caminho clássico. Então, no limite clássico, apenas um pequeno tubo de caminhos em forma de caminho clássico contribuirá.

EQUAÇÃO DE SCHRÖDINGER

$$\langle x_{t+\varepsilon} | x'_{t_0} \rangle = \int \langle x_{t+\varepsilon} | \bar{x}_{t'} \rangle \langle \bar{x}_{t'} | x'_{t_0} \rangle d\bar{x}$$

$$= \int \sqrt{\frac{m}{2\pi i \hbar}} e^{\frac{i m (\bar{x}-x)^2}{2\hbar} - \frac{i \varepsilon V(x)}{\hbar}} \langle \bar{x}_{t'} | x'_{t_0} \rangle d\bar{x}$$

Definindo $\xi = x - \bar{x}$, a integral será importante

$$\text{p/ } \xi \approx 0 \Rightarrow$$

$$\langle \bar{x}_{t'} | x'_{t_0} \rangle = \langle x_{-\xi, t'} | x'_{t_0} \rangle \approx$$

$$\langle x_{t'} | x'_{t_0} \rangle - \xi \frac{\partial}{\partial x} \langle x_{t'} | x'_{t_0} \rangle + \frac{\xi^2}{2} \frac{\partial^2}{\partial x^2} \langle x_{t'} | x'_{t_0} \rangle$$

$$e^{-\frac{i \varepsilon V(x)}{\hbar}} \approx 1 - \frac{i \varepsilon V(x)}{\hbar}$$

Além disso

$$\langle x_{t+\varepsilon} | x'_{t_0} \rangle \approx \langle x_{t'} | x'_{t_0} \rangle + \varepsilon \frac{\partial}{\partial t} \langle x_{t'} | x'_{t_0} \rangle$$

Então temos

$$\langle x_{t+\varepsilon} | x'_{t_0} \rangle + \varepsilon \frac{\partial}{\partial t} \langle x_{t'} | x'_{t_0} \rangle = \sqrt{\frac{m}{2\pi i \hbar}} \int e^{\frac{i \xi^2}{2\hbar} (1 - \frac{i \varepsilon V}{\hbar})} \left(\langle x_{t'} | x'_{t_0} \rangle - \xi \frac{\partial}{\partial x} \langle x_{t'} | x'_{t_0} \rangle + \frac{\xi^2}{2} \frac{\partial^2}{\partial x^2} \langle x_{t'} | x'_{t_0} \rangle \right) d\xi$$

$$= \langle x_{t'} | x'_{t_0} \rangle - \frac{i \varepsilon V}{\hbar} \langle x_{t'} | x'_{t_0} \rangle + \sqrt{\frac{m}{2\pi i \hbar}} \frac{1}{2} i \sqrt{\frac{m}{2\pi i \hbar}} \frac{1}{2} \frac{\partial^2}{\partial x^2} \langle x_{t'} | x'_{t_0} \rangle$$

$$\varepsilon \frac{\partial}{\partial t} \langle x_{t'} | x'_{t_0} \rangle = -\frac{i \varepsilon V}{\hbar} \langle x_{t'} | x'_{t_0} \rangle + \frac{i \hbar \varepsilon}{2m} \frac{\partial^2}{\partial x^2} \langle x_{t'} | x'_{t_0} \rangle$$

$$i \hbar \frac{\partial}{\partial t} \langle x_{t'} | x'_{t_0} \rangle = \left(-\frac{\hbar^2}{2m} \frac{\partial^2}{\partial x^2} + V \right) \langle x_{t'} | x'_{t_0} \rangle$$

$$\int \xi^2 e^{-\alpha \xi^2 / i} d\xi =$$

$$-i \frac{2}{\alpha} \sqrt{\frac{\pi i}{\alpha}} = \frac{i}{2\alpha} \sqrt{\frac{\pi i}{\alpha}}$$

APÊNDICE-B : INTEGRAIS GAUSSIANAS E DE FRESNEL

(B1)

$$(I) \quad \text{Seja} \quad I = \int_{-\infty}^{+\infty} e^{-\alpha x^2 + \beta x} dx$$

Completemos o quadrado feito $-\alpha x^2 + \beta x = -\alpha \left(x - \frac{\beta}{2\alpha} \right)^2 + \frac{\beta^2}{4\alpha}$

$$\text{Fazendo } y = \left(x - \frac{\beta}{2\alpha} \right) \sqrt{\alpha}$$

$$I = \frac{e^{\frac{\beta^2}{4\alpha}}}{\sqrt{\alpha}} \int_{-\infty}^{+\infty} e^{-y^2} dy = \frac{e^{\frac{\beta^2}{4\alpha}}}{\sqrt{\alpha}} J$$

$$J^2 = \int_{-\infty}^{+\infty} dy \int_{-\infty}^{+\infty} dz e^{-y^2 - z^2}$$

$$y = r \cos \theta \quad dy dz = r dr d\theta \\ z = r \sin \theta$$

$$= \int_0^{2\pi} d\theta \int_0^{\infty} r dr e^{-r^2} = 2\pi \int_0^{\infty} \frac{dr}{2} e^{-r^2} = \pi \rightarrow J = \sqrt{\pi}$$

$$\Rightarrow \boxed{\int_{-\infty}^{+\infty} e^{-\alpha x^2 + \beta x} dx = \sqrt{\frac{\pi}{\alpha}} e^{\frac{\beta^2}{4\alpha}}}$$

(II)

Seja Agora

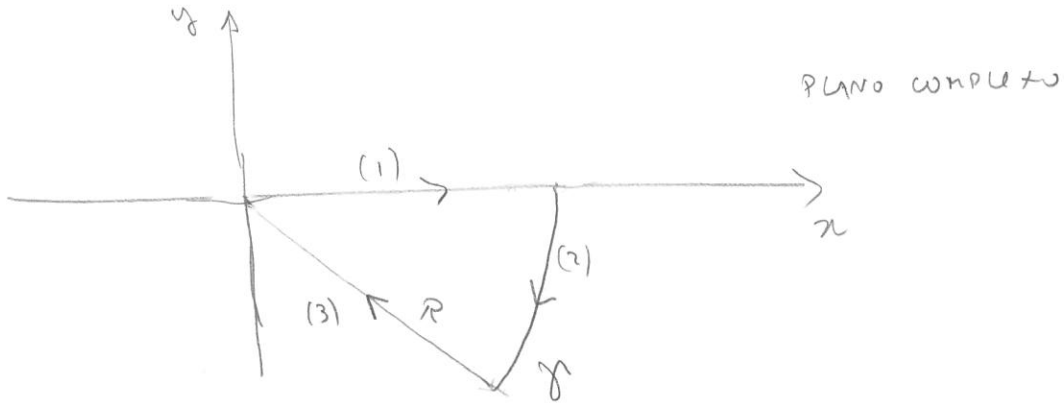
$$I = \int_{-\infty}^{+\infty} e^{-i\alpha x^2 + i\beta x} dx = \frac{e^{\frac{i\beta^2}{4\alpha}}}{\sqrt{\alpha}} \int_{-\infty}^{+\infty} e^{-iy^2} dy$$

$$= \frac{2 e^{\frac{i\beta^2}{4\alpha}}}{\sqrt{\alpha}} \underbrace{\int_0^{\infty} e^{-ix^2} dx}_J$$

(B2)

Para transformar-las em uma integral Gaussiana fizemos

$$z^2 = -i\mu^2 = e^{-i\pi/4} \mu^2 \rightarrow z = e^{-i\pi/4} \mu$$



$$\lim_{R \rightarrow \infty} \oint_{\gamma} e^{-iz^2} dz = J + \int_{\gamma_2}^{-iz^2} dz - \int_{\gamma_3}^{-iz^2} dz = 0 \quad (\text{na h\'ipotesis})$$

$$\text{Em } \gamma_2 \quad z = Re^{i\theta} \quad -\frac{\pi}{4} < \theta < 0 \quad \Rightarrow \quad -iz^2 = -iR^2(\cos 2\theta + i \sin 2\theta) \\ = -iR^2 \cos 2\theta + R^2 \sin 2\theta$$

Como $\operatorname{Re}(-iz^2) < 0$, a integral sobre γ_2 vai a zero

quando $R \rightarrow \infty$.

$$\text{Em } \gamma_3 \quad z = r e^{-i\pi/4} \quad -iz^2 = -ir^2 e^{-i\pi/2} = -r^2 e^i$$

$$\int_{\gamma_3}^{-iz^2} dz = \int_0^\infty -r^2 e^{i\pi/4} dr = \frac{\sqrt{\pi}}{2\sqrt{i}} \Rightarrow J = \frac{1}{2}\sqrt{\frac{\pi}{i}}$$

$\int_{-\infty}^{+\infty} e^{-i\alpha x^2 + i\beta x} dx = \sqrt{\frac{\pi}{i\alpha}} e^{i\beta^2/4\alpha}$

Outros resultados úteis são:

(B3)

$$\int_{-\infty}^{+\infty} x e^{-\alpha x^2 + \beta x} dx = \int_{-\infty}^{+\infty} \left(\frac{y}{\sqrt{\alpha}} + \frac{\beta}{2\alpha} \right) e^{-\frac{y^2}{\alpha}} \frac{dy}{\sqrt{\alpha}} = \frac{\beta}{2\alpha} \sqrt{\frac{\pi}{\alpha}}$$

$$\int_{-\infty}^{+\infty} x^2 e^{-\alpha x^2 + \beta x} dx = \int_{-\infty}^{+\infty} \left[\frac{y^2}{\alpha} + \frac{\beta y}{\alpha \sqrt{\alpha}} + \frac{\beta^2}{4\alpha^2} \right] e^{-\frac{y^2}{\alpha}} \frac{dy}{\sqrt{\alpha}} = \frac{1}{2\alpha} \sqrt{\frac{\pi}{\alpha}} + \frac{\beta^2}{4\alpha^2} \sqrt{\frac{\pi}{\alpha}}$$

Vejá que

$$\int_{-\infty}^{+\infty} y^2 e^{-\alpha y^2} dy = -\frac{d}{d\alpha} \left[\int e^{-\alpha y^2} dy \right] = -\frac{d}{d\alpha} \left(\sqrt{\frac{\pi}{\alpha}} \right) = \frac{1}{2\alpha} \sqrt{\frac{\pi}{\alpha}}$$

$$\int_{-\infty}^{+\infty} y^2 e^{-i\alpha y^2} dy = i \frac{d}{d\alpha} \int e^{-i\alpha y^2} dy = i \frac{d}{d\alpha} \left(\sqrt{\frac{\pi}{i\alpha}} \right) = \frac{i}{2\alpha} \sqrt{\frac{\pi}{i\alpha}} = \frac{1}{2\alpha} \sqrt{\frac{\pi i}{\alpha}}$$

$$\sum_{k=0}^{\infty} \frac{t^k}{k!} H_k(n) = e^{-t+2tn}$$

APÊNDICE C - Calculo de $\langle x | z \rangle$ (1)

$$\begin{aligned} \langle x | z \rangle &= \sum_{k=0}^{\infty} e^{-\frac{|z|^2}{2}} \frac{z^k}{\sqrt{k!}} \langle x | k \rangle \\ &= \sum_{k=0}^{\infty} \frac{1}{2^{k/2} \sqrt{k!}} \left(\frac{mw}{\pi h}\right)^{1/4} e^{-\frac{mwx^2}{2h}} H_k\left(\sqrt{\frac{mw}{h}} x\right) \frac{z^k}{\sqrt{k!}} \\ &= \sum_{k=0}^{\infty} \left(\frac{mw}{\pi h}\right)^{1/4} \left(\frac{z}{\sqrt{2}}\right)^k \frac{1}{k!} H_k\left(\sqrt{\frac{mw}{h}} x\right) e^{-\frac{|z|^2}{2}} e^{-\frac{mwx^2}{2h}} \\ t &= z/\sqrt{2} \quad y = \sqrt{\frac{mw}{h}} x \end{aligned}$$

$$\begin{aligned} &= e^{-\frac{|z|^2}{2} - \frac{mwx^2}{2h}} \underbrace{\sum_{k=0}^{\infty} \frac{t^k}{k!} H_k(y)}_{-t^2 + 2ty} \left(\frac{mw}{\pi h}\right)^{1/4} \\ &= \left(\frac{mw}{\pi h}\right)^{1/4} \exp \left\{ -\frac{|z|^2}{2} - \frac{mw^2x^2}{2h} - \frac{z^2}{2} + 2\frac{z}{\sqrt{2}} \sqrt{\frac{mw}{h}} x \right\} \\ z &= \frac{1}{\sqrt{2}} \left(\frac{q\sqrt{mw}}{\sqrt{h}} + \frac{iP}{\sqrt{2mw}} \right) \quad |z|^2 = \frac{mwq^2}{2h} + \frac{P^2}{2hmv} \\ z^2 &= \frac{mwq^2}{2h} - \frac{P^2}{2hmv} + \frac{2iPq}{h} \end{aligned}$$

$$\begin{aligned} \langle x | z \rangle &= \left(\frac{mw}{\pi h}\right)^{1/4} \exp \left\{ -\frac{mwq^2}{2h} - \frac{iPq}{2h} - \frac{mw^2x^2}{2h} + \underbrace{i\sqrt{\frac{mw}{h}} \left(q\sqrt{\frac{mw}{h}} + \frac{iP}{\sqrt{2mw}} \right)}_{\frac{2mwqa}{2h} + \frac{iPx}{h}} \right\} \\ &\quad \frac{2mwqa}{2h} + \frac{iPx}{h} \end{aligned}$$

$$= \left(\frac{mw}{\pi h}\right)^{1/4} \exp \left\{ -\frac{mw}{2h} (x-a)^2 + \frac{iP}{h} (x-q/h) \right\} //$$

APÊNDICE-D - Métodos Alternativos para Resolver a integral de DI
trajetórias para partículas livres.

Vimos no APÊNDICE B que

$$I_1 = \int_{-\infty}^{+\infty} e^{-\alpha x^2} dx = \sqrt{\frac{\pi}{\alpha}}.$$

Consideremos a integral dupla

$$I_2 = \int e^{-\alpha_1 x_1^2 - \alpha_2 x_2^2 - 2\beta x_1 x_2} dy_1 dy_2.$$

O exponente pode ser escrito como

$$(x_1 \ x_2) \begin{pmatrix} \alpha_1 & \beta \\ \beta & \alpha_2 \end{pmatrix} \begin{pmatrix} x_1 \\ x_2 \end{pmatrix} = x^T A x$$

Como A é simétrica, existe uma transformação ortogonal $y = Oy$ tal

que $x^T A x = y^T O^T A O y = y^T A y = \lambda_1 y_1^2 + \lambda_2 y_2^2$, i.e., O diagonaliza A . Como $OO^T = I$ o Jacobiano da transformação é 1 e

$$I_2 = \int e^{-\lambda_1 y_1^2 - \lambda_2 y_2^2} dy_1 dy_2 = \sqrt{\frac{\pi}{\lambda_1}} \sqrt{\frac{\pi}{\lambda_2}} = \frac{\pi}{\sqrt{\det A}}$$

A integral converge se λ_1 e λ_2 forem positivos. Esse resultado pode ser generalizado para N dimensões:

$$I_N = \int e^{-x^T A x} dx = \frac{\pi^{N/2}}{\sqrt{\det A}}$$

onde $x^T A x$ é uma forma quadrática dada por $\sum_{i,j} A_{ij} x_i x_j$ e A é uma matriz simétrica.

A integral na página 76 é

$$I_n = \int dx_1 \dots dx_{n-1} \exp \left\{ \frac{i}{\hbar} \sum_{n=2}^N \frac{m}{2e} (x_n - x_{n-1})^2 \right\}$$

$$\begin{aligned} e \sum_{n=2}^N (x_n - x_{n-1})^2 &= (x_2 - x_1)^2 + (x_3 - x_2)^2 + (x_4 - x_3)^2 + \dots + (x_N - x_{N-1})^2 \\ &= (\underbrace{x_1^2 + x_2^2 - 2x_1 x_2}_{\alpha}) + (x_2^2 + x_3^2 - 2x_2 x_3) + (x_3^2 + x_4^2 - 2x_3 x_4) + \dots + (x_{N-1}^2 + x_N^2 - 2x_{N-1} x_N) \\ &= \underbrace{x_1^2 + x_N^2}_{\alpha} + (x_2 x_3 \dots x_N) \begin{pmatrix} 2 & -1 & 0 & 0 & \dots & 0 \\ -1 & 2 & -1 & 0 & \dots & 0 \\ 0 & -1 & 2 & -1 & \dots & 0 \\ 0 & 0 & -1 & 2 & -1 & \\ \vdots & \vdots & \vdots & \vdots & \ddots & -1 \\ & & & & & 2 \end{pmatrix} \begin{pmatrix} x_2 \\ x_3 \\ x_4 \\ \vdots \\ x_{N-1} \end{pmatrix} \\ &- 2(x_2 x_3 \dots x_{N-1}) \begin{pmatrix} u_1 \\ \vdots \\ 0 \\ \vdots \\ u_N \end{pmatrix} \leftarrow U \end{aligned}$$

$$\equiv \alpha - 2\mathbf{x}^T \mathbf{U} + \mathbf{x}^T \mathbf{A} \mathbf{x}$$

(Note que x_1 e x_N não são integrados). Podemos agora "completar os quadrados": buscamos o vetor μ e o escalar w tal que

$$(\mathbf{x} - \mu)^T \mathbf{A} (\mathbf{x} - \mu) + w \equiv \alpha - 2\mathbf{x}^T \mathbf{U} + \mathbf{x}^T \mathbf{A} \mathbf{x}$$

$$= \mathbf{x}^T \mathbf{A} \mathbf{x} - 2\mathbf{x}^T \mathbf{A} \mu + \mu^T \mathbf{A} \mu + w \Rightarrow \mathbf{A} \mu = \mathbf{U} \rightarrow \boxed{\mu = \tilde{\mathbf{A}}^{-1} \mathbf{U}}$$

$$e \quad \mu^T \mathbf{A} \mu + w = \alpha \Rightarrow \boxed{\begin{aligned} w &= \alpha - \mu^T \mathbf{A} \mu = \alpha - \mathbf{U}^T \tilde{\mathbf{A}}^{-1} \tilde{\mathbf{A}} \mathbf{U} \\ w &= \alpha - \mathbf{U}^T \tilde{\mathbf{A}}^{-1} \mathbf{U} \end{aligned}}$$

A forma quadrática dos expoentes entra pode ser escrita como

$$(x - \tilde{A}v)^T A (x - \tilde{A}v) + \alpha = v^T \tilde{A}^T v$$

Fazendo a mudança de variáveis $y = x - \tilde{A}^T v$ obtemos

$$\begin{aligned} I_N &= \int dy_1 \dots dy_m e^{-\frac{m}{2\pi i k} v^T A y} \times e^{\frac{i m}{2\pi i k} (x_1^2 + x_N^2 - v^T \tilde{A}^T v)} \\ &= \left[\frac{2\pi i k \epsilon}{m} \right]^{\frac{N-2}{2}} \frac{1}{\sqrt{\det A}} e^{i p \left\{ \frac{i m}{2\pi i k} (x_1^2 + x_N^2 - v^T \tilde{A}^T v) \right\}} \end{aligned}$$

É fácil ver por indução que $\det A = N-1$. Assim o vetor v si tem as componentes extremas

$$v^T \tilde{A}^T v = (\tilde{A}^T)_{11} x_1^2 + (\tilde{A}^T)_{N-2, N-2} x_N^2 + 2 x_1 x_N (\tilde{A}_{1, N-2} + \tilde{A}_{N-2, 1})$$

Esses elementos da matriz podem ser obtidos pelo método do cofator:

$$\tilde{A}_{11} = \tilde{A}_{N-2, N-2} = \frac{N-2}{N-1} \quad \text{e} \quad \tilde{A}_{1, N-2} = \tilde{A}_{N-2, 1} = \frac{1}{N-1}$$

Assim

$$\begin{aligned} x_1^2 + x_N^2 - v^T \tilde{A}^T v &= x_1^2 \left(1 - \frac{N-2}{N-1}\right) + x_N^2 \left(1 - \frac{N-2}{N-1}\right) - \frac{2 x_1 x_N}{N-1} \\ &= \frac{1}{N-1} (x_1^2 + x_N^2 - 2 x_1 x_N) = \frac{(x_N - x_1)^2}{N-1} \end{aligned}$$

$$I_N = \left(\frac{2\pi i k \epsilon}{m} \right)^{\frac{N-1}{2}} \left(\frac{m}{2\pi i k \epsilon} \right)^{\frac{1}{2}} \frac{1}{\sqrt{N-1}} e^{-\frac{i m (x_N - x_1)^2}{2\pi i k \epsilon (N-1)}}$$

Multiplicando por $\left(\frac{m}{2\pi i k \epsilon} \right)^{\frac{N-1}{2}}$ obtemos o resultado:

$$\langle x_N x_N | x_1 x_1 \rangle = \left(\frac{m}{2\pi i k T} \right)^{\frac{1}{2}} e^{-\frac{i m (x_N - x_1)^2}{2\pi k T}} \quad \text{onde } \epsilon (N-1) = T$$

Lembrar que

$$\bar{A}^{-1} = \frac{1}{\det(A)} \begin{bmatrix} \text{matriz dos cofatores} \end{bmatrix}^T$$

O cofator ij é obtido calculando o determinante de A retirando a linha i e a coluna j .

2.6 Potenciais e Transformações de Gásse

O conceito de força da mecânica clássica é quase sempre substituído pelo conceito de energia potencial na teoria quântica. Para forças conservativas a relação entre eles é

$$\mathbf{F}(\mathbf{x}) = -\nabla V(\mathbf{x}) \rightarrow \begin{cases} H = \frac{p^2}{2m} + V(\mathbf{x}) \\ L = \frac{m\dot{\mathbf{x}}^2}{2} - V(\mathbf{x}) \end{cases}$$

No caso do eletrromagnetismo a força de Lorentz é

$$q(E + \frac{1}{c} \nabla \times B)$$

e introduzimos os potenciais ϕ e A tal que

$$E = -\nabla \phi - \frac{1}{c} \frac{\partial A}{\partial t}$$

$$B = \nabla \times A \rightarrow \begin{cases} H = \frac{1}{2m} \left(p - \frac{q}{c} A \right)^2 + e\phi \\ L = \frac{m\dot{\mathbf{x}}^2}{2} + \frac{q}{c} \mathbf{v} \cdot \mathbf{A} - e\phi \end{cases}$$

Clasicamente existem diferentes escolhas de $V(\mathbf{x})$, ou seja ϕ e A , que levam às mesmas forças, e portanto ao mesmo movimento. Em particular

as mudanças

$$V(\mathbf{x}) \rightarrow \tilde{V}(\mathbf{x}) = V(\mathbf{x}) + V_0(t)$$

$$\phi \rightarrow \tilde{\phi} = \phi - \frac{1}{c} \frac{\partial A}{\partial t}; \quad A \rightarrow \tilde{A} = A + \nabla A$$

Nestas seções vamos considerar o efeito destas transformações na mecânica quântica.

Potenciais constantes

Vamos considerar primeiramente as mudanças

$$V(\mathbf{x}) \rightarrow \tilde{V}(\mathbf{x}) = V(\mathbf{x}) + V_0$$

Seja $|\alpha\rangle$ um estado inicial

$$|\alpha, t\rangle \rightarrow \text{evolução com } V(\mathbf{x})$$

$$\widetilde{|\alpha, t\rangle} \rightarrow \text{evolução com } \tilde{V}(\mathbf{x})$$

Então

$$|\alpha, t\rangle = e^{-\frac{i}{\hbar} H t} |\alpha\rangle$$

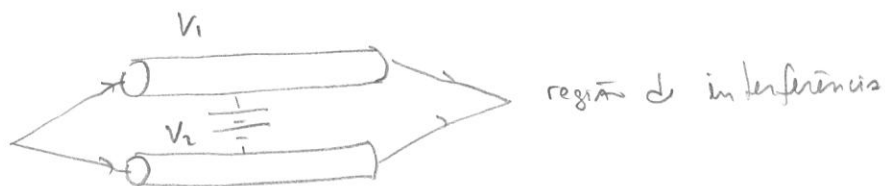
$$|\tilde{\alpha}, t\rangle = e^{-\frac{i}{\hbar} \tilde{H} t} |\alpha\rangle = e^{-\frac{i V_0 t}{\hbar}} e^{-\frac{i}{\hbar} H t} |\alpha\rangle = e^{-\frac{i V_0 t}{\hbar}} |\alpha, t\rangle$$

$$\text{e } \tilde{\Psi}(x, t) = e^{-\frac{i V_0 t}{\hbar}} \Psi(x, t)$$

Como a diferença é de uma fase global, valores esperados (que só dependem de diferenças de energia) não são afetados. Se $V_0 = V_0(t)$, o cálculo é idêntico e a diferença de fase será

$$-\frac{e}{\hbar} \int_0^t V(t') dt'.$$

Exemplo - Feixe de partículas carregadas é separado e passa por tubo metálico. Quando as partículas entram no tubo elas são carregadas com potencialis constantes diferentes:



Como os potencialis são constantes, não há força. A função de onda na região de interferência será

$$\Psi(x, t) = \Psi(x, t) e^{-\frac{i}{\hbar} V_1 t} + \Psi(x, t) e^{-\frac{i}{\hbar} V_2 t} = \Psi(x, t) e^{-\frac{i}{\hbar} V_1 t} \left[1 + e^{-\frac{i}{\hbar} (V_2 - V_1) t} \right]$$

$$\Rightarrow \Delta \Psi = \frac{i}{\hbar} (V_2 - V_1) t \quad \text{vai produzir um padrão de interferência.}$$

o que é um efeito puramente quântico.

Exemplo 2 - Efeitos da Gravidade na Mec. Quântica

82

PARA um partícula de massa m no campo uniforme \hat{g} , a equação clássica NÃO depende da massa:

$$F = -mg\hat{z} \quad V(z) = mgz = m\Phi_G(z)$$

$$m\ddot{x} = -mg\hat{z} \rightarrow \boxed{\ddot{x} = -g\hat{z}}$$

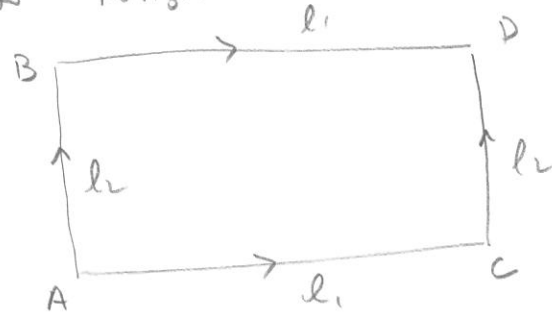
Na Mecânica quântica a massa APARECE:

$$i\hbar \frac{\partial \Psi}{\partial t} = \left[-\frac{\hbar^2}{2m} \nabla^2 + m\Phi_G \right] \Psi \Rightarrow \text{APARECE A COMBINAÇÃO } \left(\frac{\hbar}{m} \right)$$

Embora a equação de Heisenberg para x f.b. NÃO envolva m

$$m \frac{d^2x}{dt^2} = -\nabla V = -mg\hat{z} \rightarrow \frac{d^2x}{dt^2} = -g\hat{z}$$

efeitos de interferência podem ser medida. Considerar o experimento RAB - onde os urmários são horizontais:



OBS CLASSICAMENTE A velocidade é em B-D é menor que em AC:
 $E = p^2/2m + mgz \rightarrow p \frac{DP}{m} = -mg\Delta z = -mgl_2 \sin \delta$. Usando $p = \hbar/k$ vem $\frac{\Delta x}{\hbar^2} = \frac{m^2 g l_2 \Delta z \sin \delta}{\hbar^2}$ e $\Delta \phi = \frac{l_1 \Delta p}{\hbar}$ reproduz o resultado obtido.

Escolhendo $V=0$ no resto do experimento os partículas seguirão

ABD ou ACD apesar da mesma fase \Rightarrow sem interferência.

ADD ou ACD apesar da mesma fase \Rightarrow sem interferência.

Repetindo o experimento em termos de AC e S podemos o potencial em

RAB de $mgl_2 \sin \delta$ induzindo uma mudança de fase

$$\exp \left\{ -imgl_2 \sin \delta / \hbar \right\}, \quad T = l_1 / \sigma$$

$$\text{Em termos de } \chi = \hbar/p = \frac{\hbar}{m\sigma} = \frac{\hbar T}{ml_1} \rightarrow T = \frac{ml_1 \chi}{\hbar}$$

$$\Delta \phi = -\frac{m^2 g l_1 l_2 \chi \sin \delta}{\hbar^2}$$

A experiência foi feita com neutrons usados

$$\lambda = 1.42 \text{ \AA}$$

$$l_1 l_2 = 10 \text{ cm}^2$$

$$\sin \delta = 1$$

$$m = 1.675 \times 10^{-27} \text{ kg}$$

$$\hbar = 1.05 \times 10^{-34} \text{ J.s}$$

produziu $\Delta\phi = 55.6 \Rightarrow \frac{\Delta\phi}{2\pi} = 9$ oscilações conforme θ é variado de 0 à 2π .

TRANSFORMAÇÕES DE GAUSS NO ELETROMAGNETISMO

Trataremos apenas o caso independente do tempo. Então

$$\mathbf{E} = -\nabla\phi \quad \mathbf{B} = \nabla \times \mathbf{A} \quad ; \quad \phi = \phi(\mathbf{x}) ; \quad \mathbf{A} = \mathbf{A}(\mathbf{x})$$

$$H = \frac{1}{2m} \left(\mathbf{P} - \frac{e\mathbf{A}}{c} \right)^2 + e\phi = \frac{1}{2m} \left[\mathbf{P}^2 - \frac{e^2}{c^2} (\mathbf{P} \cdot \mathbf{A} + \mathbf{A} \cdot \mathbf{P}) + \frac{e^2}{c^2} \mathbf{A}^2 \right]$$

\mathbf{P} = momento canônico = gerador de translações

$$\mathbf{P} = \text{momento canônico} = \mathbf{p} - \frac{e}{c} \mathbf{A}$$

$$\mathbf{\Pi} = \text{momento mecânico} = \mathbf{p} - \frac{e}{c} \mathbf{A}$$

Verifica que $[P_i, P_j] = 0$ mas $[\Pi_i, \Pi_j] = \left(\frac{ie}{c} \right) \epsilon_{ijk} B_k \neq 0$

PROVA $[\Pi_i, \Pi_j] = [P_i - \frac{eA_i}{c}, P_j - \frac{eA_j}{c}] = -\frac{e}{c} [P_i, A_j] + \frac{e}{c} [P_j, A_i]$

$$= \frac{ie}{c} \left(\frac{\partial A_j}{\partial x_i} - \frac{\partial A_i}{\partial x_j} \right) = \frac{ie}{c} \epsilon_{ijk} B_k \quad \text{pois}$$

Como $B_k = \epsilon_{kem} \partial_e A_m = \frac{\partial A_m}{\partial x_e} - \frac{\partial A_e}{\partial x_m}$ se $k \neq l \neq m$

Então, escrevendo $H = \frac{\Pi^2}{2m} + e\phi$

$$\frac{d\mathbf{A}}{dt} = \frac{1}{ic} [\mathbf{x}, H] = \frac{1}{2im} [\mathbf{x}, \mathbf{\Pi}] = \frac{1}{2im} \{ \mathbf{\Pi} [\mathbf{x}, \mathbf{\Pi}] + [\mathbf{x}, \mathbf{\Pi}] \mathbf{\Pi} \}$$

$$= \frac{\mathbf{\Pi}}{m} \rightarrow m \frac{d\mathbf{x}}{dt} = \mathbf{\Pi}$$

$$m \frac{d\vec{x}}{dt} = \frac{1}{i\hbar} [\pi, H] = e \left[E + \frac{1}{2c} \left(\frac{dx}{dt} \times B - B \times \frac{dx}{dt} \right) \right] \\ = e [E + \frac{1}{c} \nabla \times B] = \text{force & Lorentz}$$

Pois

$$[\pi_i, H] = \frac{1}{cm} \sum_j [\pi_i, \pi_j] + e [\pi_i, \phi] \\ = \frac{1}{cm} \sum_j \left\{ \pi_j \underbrace{[\pi_i, \pi_j]}_{i \neq j \in B_K} + \underbrace{[\pi_i, \pi_j]}_{i \neq j \in B_K} \pi_j \right\} - e i \hbar \frac{\partial \phi}{\partial x_i} \\ = \frac{i \hbar e}{cm} \left[\underbrace{\sum_{j \neq i} \epsilon_{ijk} \pi_j B_k}_{(\pi \times B)_i} + \underbrace{\sum_{j \neq i} \epsilon_{ijk} B_k \pi_j}_{-\sum \epsilon_{ikj} B_k \pi_j} \right] - e i \hbar \frac{\partial \phi}{\partial x_i} \\ = \frac{i \hbar e}{cm} [\pi \times B - B \times \pi]_i - [e i \hbar \nabla \phi]_i$$

Antes de fazer a transformação de Gauß $A \rightarrow \tilde{A} = A + \nabla \Lambda$ vamos redirecionar a equação de continuidade no presença de ϕ, A . Inicialmente vemos que

$$\langle \vec{x}' | \left(\vec{p} - \frac{e}{c} \vec{A} \right)^* | \alpha, t \rangle = \left[-i \hbar \nabla' - \frac{e}{c} A(\vec{x}') \right] \left[-i \hbar \nabla - \frac{e}{c} A(\vec{x}) \right] \Psi(\vec{x}, t) \\ = \left[-i \hbar \nabla' - \frac{e}{c} A(\vec{x}') \right] \left[-i \hbar \nabla \Psi - \frac{e}{c} A(\vec{x}) \Psi(\vec{x}') \right] \\ = -\hbar^2 \nabla'^2 \Psi + \frac{2e i \hbar}{c} A(\vec{x}') \nabla' \Psi + \frac{e i \hbar (\nabla \cdot A')}{c} \Psi + \frac{e^2}{c^2} \vec{A}^2 \Psi$$

Assim temos

$$\left\{ \begin{array}{l} -\frac{\hbar^2}{cm} \nabla'^2 \Psi + \frac{e i \hbar}{mc} A \nabla' \Psi + \frac{i \hbar e (\nabla \cdot A)}{cm} \Psi + \frac{e^2}{c^2} \vec{A}^2 \Psi + e \phi \Psi = i \hbar \frac{\partial \Psi}{\partial t} \times \Psi^* \\ -\frac{\hbar^2}{cm} \nabla^2 \Psi^* - \frac{e i \hbar}{mc} A \nabla \Psi^* - \frac{i \hbar e (\nabla \cdot A)}{cm} \Psi^* + \frac{e^2}{c^2} \vec{A}^2 \Psi^* + e \phi \Psi^* = -i \hbar \frac{\partial \Psi^*}{\partial t} \times \Psi \end{array} \right.$$

SUBSTITUINDO:

$$-\frac{\hbar^2}{2m} [\psi^* \nabla^2 \psi - 4 \nabla^2 \psi^*] + \frac{eih}{mc} [A \psi^* \nabla^2 \psi + A \psi \nabla^2 \psi^*] - \frac{ieh}{2mc} [2|\psi|^2 A] = ih \frac{\partial p}{\partial t} \quad 8$$

and $\rho = |\psi|^2$

$$-\frac{\hbar^2}{2m} \nabla^2 [\psi^* \nabla^2 \psi - 4 \nabla^2 \psi^*] + \frac{eih}{mc} \nabla^2 [\rho A] = ih \frac{\partial p}{\partial t}$$

$$\frac{\partial p}{\partial t} + \nabla^2 \left[-\frac{i\hbar}{2m} (\psi^* \nabla^2 \psi - 4 \nabla^2 \psi^*) - \frac{e}{mc} A \rho \right] = 0$$

e

$$\boxed{j = \frac{\hbar}{m} \operatorname{Im}(\psi^* \nabla^2 \psi) - \frac{e}{mc} A \rho}$$

que é o resultado fizemos $\nabla^2 \rightarrow \nabla^2 - \frac{ie}{hc} A$. Escrevendo

ainda $\psi = \sqrt{\rho} e^{i\phi}$

$$j = \frac{e}{m} \left(\nabla^2 - \frac{e}{c} A \right) \Rightarrow \langle j \rangle = \frac{1}{m} \langle \nabla^2 - \frac{e}{c} A \rangle = \langle \nabla^2 \rangle / m$$

Finalmente vamos considerar a transf. de Garge.

$$\phi \rightarrow \tilde{\phi} = \phi ; \quad A \rightarrow \tilde{A} = A + \nabla \Delta$$

Exemplo : $B = B_0 \hat{z}$

$$|A = \frac{B_0}{2} (-y, x, 0)$$

$$|\tilde{A} = B_0 (-y, 0, 0) = A + \nabla \left(\frac{B_0 x}{2} \right)$$

OBS.	Px e'
constante	nl
mas não para H	\Rightarrow
R é dependente de	GARGE.

Como expressamos que os valores médios mantêm sua similaridade com as equações clássicas, vamos impor que

$$\langle \alpha | \tilde{x} | \alpha \rangle = \langle \tilde{\alpha} | \tilde{x} | \tilde{\alpha} \rangle \quad (1)$$

onde $|\tilde{\alpha}\rangle$ é a solução da Eq. de Schrödinger com \tilde{A}

Além disso impõe que

$$\langle \alpha | P - \frac{e}{c} A | \alpha \rangle = \langle \tilde{\alpha} | P - \frac{e}{c} \tilde{A} | \tilde{\alpha} \rangle \quad (2)$$

$$\langle \alpha | \alpha \rangle = \langle \tilde{\alpha} | \tilde{\alpha} \rangle \quad (3)$$

A relação entre $|\tilde{\alpha}\rangle$ e $|\alpha\rangle$ é

$$|\tilde{\alpha}\rangle = \exp\left\{\frac{ie\Delta(x)}{\hbar c}\right\} |\alpha\rangle.$$

As propriedades (1) e (3) são imediatas. Para provar (2) fazemos

$$\langle \tilde{\alpha} | P - \frac{e}{c} \tilde{A} | \tilde{\alpha} \rangle = \langle \alpha | e^{-\frac{ie\Delta}{\hbar c}} (P - \frac{e}{c} A - \frac{e}{c} \nabla \Delta) e^{\frac{ie\Delta}{\hbar c}} | \alpha \rangle = \langle \alpha | P - \frac{e}{c} A | \alpha \rangle$$

$$\text{pois } e^{-\frac{ie\Delta}{\hbar c}} P e^{\frac{ie\Delta}{\hbar c}} = e^{-\frac{ie\Delta}{\hbar c}} [P, e^{\frac{ie\Delta}{\hbar c}}] + P = \frac{e}{c} i \nabla \Delta + P$$

$$e^{-\frac{ie\Delta}{\hbar c}} f(x) e^{\frac{ie\Delta}{\hbar c}} = f(x)$$

Esses resultados podem ser obtidos diretamente da Eq. de Schrödinger:

$$\left[\frac{i}{\hbar m} \left(P - \frac{e}{c} A \right) + e \phi \right] |\alpha\rangle = i \hbar \frac{\partial |\alpha\rangle}{\partial t}$$

$$\left[\frac{i}{\hbar m} \left(P - \frac{e}{c} A - \frac{e}{c} i \nabla \Delta \right) + e \phi \right] |\tilde{\alpha}\rangle = i \hbar \frac{\partial |\tilde{\alpha}\rangle}{\partial t}$$

temos que usando $|\tilde{\alpha}\rangle = e^{\frac{ie\Delta}{\hbar c}} |\alpha\rangle$ temos

$$\left[\frac{i}{\hbar m} e^{\frac{-ie\Delta}{\hbar c}} \left(P - \frac{e}{c} A - \frac{e}{c} i \nabla \Delta \right) e^{\frac{ie\Delta}{\hbar c}} + e \phi \right] |\alpha\rangle = i \hbar \frac{\partial |\alpha\rangle}{\partial t}$$

$$\begin{aligned} e^{\frac{-ie\Delta}{\hbar c}} \left(P - \frac{e}{c} A - \frac{e}{c} i \nabla \Delta \right) e^{\frac{ie\Delta}{\hbar c}} &= e^{\frac{-ie\Delta}{\hbar c}} \left(P - \frac{e}{c} A - \frac{e}{c} i \nabla \Delta \right) e^{\frac{ie\Delta}{\hbar c}} \times \\ &\quad e^{\frac{-ie\Delta}{\hbar c}} \left(P - \frac{e}{c} A - \frac{e}{c} i \nabla \Delta \right) e^{\frac{ie\Delta}{\hbar c}} \\ &= \left(P - \frac{e}{c} A \right)^2 \end{aligned}$$

que recupera a eq. de Schrödinger original.

RESUMO

$$\text{se } A \rightarrow \tilde{A} = A + \frac{i e \nabla}{\hbar c}$$

$$|\alpha\rangle \rightarrow |\tilde{\alpha}\rangle = e^{\frac{i e A(\alpha)}{\hbar c}} |\alpha\rangle$$

$$\psi(x,t) \rightarrow \tilde{\psi}(x,t) = e^{\frac{i e A(x)}{\hbar c}} \psi(x,t)$$

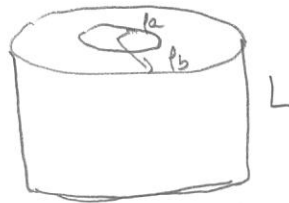
α e A são gauge independent

R é gauge dependent.

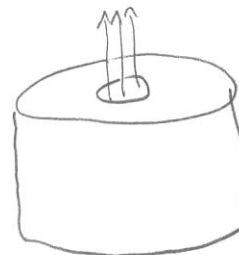
O EFEITO BOHM-AHARONOV

- Esse efeito ilustra o fato de que a existência de um potencial vetor tem consequências na mecânica quântica mesmo quando o campo resultante \vec{B} é nulo.

O primeiro exemplo desse efeito aparece quando considerarmos uma partícula confinada a uma caixa cilíndrica ou de raios para p_b e altura L :



(A) Sem Campo Mag.



(B) Com $\vec{B} = B_0 \hat{z}$ dentro do furto.

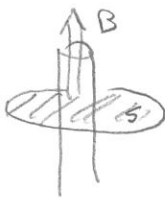
Na situação (B) aplicamos um campo magnético constante na região exterior ao furto, de forma que tanto em (A) quanto em (B) o campo é nulo na região onde a partícula se encontra. Não há força sobre a partícula nos dois casos.

Em (A) o potencial vetor é nulo, em (B) temos

$$A = \frac{B}{2} (-y, 0, 0) = \frac{B l}{2} (-\sin \varphi, \cos \varphi, 0) = \frac{B l}{2} \hat{\varphi} \text{ s.p.c.p.}$$

(verga pag. 85)

Para $p > p_a$ usamos a lei de Stokes:



$$\int (\mathbf{B} \cdot \mathbf{n}) dS = \int (\mathbf{B} \times \mathbf{A}) \cdot \mathbf{n} dS = \oint \mathbf{A} \cdot d\ell$$

$$\Phi = \text{fluxo de } \vec{B} = B \pi p_a^2 = 2\pi p A$$

$$\vec{A} = \frac{B p_a^2}{2p} \hat{\varphi} \quad \text{se } p > p_a$$

Verifique que $A \neq 0$ se $p > p_a$.

Os níveis de energia em (A) são dados pelas soluções da

$-\frac{\hbar^2}{2m} \nabla^2 \Psi = E \Psi$ onde Ψ se anula nas paredes do cilindro:

$$-\frac{\hbar^2}{2m} \left[\frac{1}{r} \frac{\partial}{\partial r} \left(r \frac{\partial \Psi}{\partial r} \right) + \frac{1}{r^2} \frac{\partial^2 \Psi}{\partial \varphi^2} + \frac{\partial^2 \Psi}{\partial z^2} \right] = E \Psi$$

onde $\Psi(r, \varphi, z)$ deve ter as formas

$$\Psi(r, \varphi, z) = R(r) e^{im\varphi} \sinh kz \quad \begin{matrix} (\text{m intimo}) \\ (\mu = n\pi/L) \end{matrix}$$

substituindo achamos a equação para $R(r)$:

$$\frac{d^2 R}{dr^2} + \frac{1}{r} \frac{\partial R}{\partial r} + \left(K^2 - \mu^2 - \frac{m^2}{r^2} \right) R = 0 \quad K^2 \equiv \frac{2mE}{\hbar^2}$$

$$\text{chamando } k = \sqrt{K^2 - \mu^2} \quad \text{e} \quad x = kr \quad \text{obtemos}$$

$$\frac{d^2 R}{dx^2} + \frac{1}{x} \frac{\partial R}{\partial x} + \left(1 - \frac{m^2}{x^2} \right) R = 0 \quad \Rightarrow \text{equação de Bessel}$$

$$\Psi(r, \varphi, z) = A \sinh kz e^{im\varphi} \left[J_m(rk) + B N_m(rk) \right]$$

$$\text{Impõe-se } \Psi(p_a, \varphi, z) = \Psi(p_b, \varphi, z) = 0 \quad \text{vnm}$$

$$J_m(Rl_a) + B N_m(Rl_a) = 0$$

$$J_m(Rl_b) + B N_m(Rl_b) = 0$$

↓

- $N_m(Rl_a) J_m(Rl_b) - J_m(Rl_a) N_m(Rl_b) = 0 \Rightarrow R = R_{m,p}$

onde p conota as soluções p/ m fto

- $B_{m,p} = - J_m(R_{m,p} l_a) / N_m(R_{m,p} l_a)$

$$E_{n,m,p} = \frac{\hbar^2 k^2}{2m} = \frac{\hbar^2 R^2}{2m} + \frac{\hbar^2 \mu^2}{2m} = \frac{\hbar^2 n \pi^2}{2m L^2} + \frac{\hbar^2 R_{m,p}^2}{2m}$$

① que mudas quando colocamos o campo magnético central?

$$-i\hbar \nabla \rightarrow -i\hbar \nabla - \frac{e}{c} A \quad ; \quad \nabla \rightarrow \nabla - \frac{ie}{\hbar c} A$$

$$\hat{p} \frac{\partial}{\partial p} + \hat{z} \frac{\partial}{\partial z} + \hat{\theta} \frac{1}{\rho} \frac{\partial}{\partial \varphi} \rightarrow \hat{p} \frac{\partial}{\partial p} + \hat{z} \frac{\partial}{\partial z} + \hat{\varphi} \left[\frac{1}{\rho} \frac{\partial}{\partial \varphi} - \left(\frac{ie}{\hbar c} \right) \frac{B l_e^2}{2\rho} \right]$$

$$\Rightarrow \frac{\partial}{\partial \varphi} \rightarrow \frac{\partial}{\partial \varphi} - \left(\frac{ie}{\hbar c} \right) \frac{B l_e^2}{2}$$

$$\frac{\partial^2 \Psi}{\partial \varphi^2} \rightarrow \left(\frac{\partial}{\partial \varphi} - \frac{ie}{\hbar c} \frac{B l_e^2}{2} \right) \left(\frac{\partial}{\partial \varphi} - \frac{ie}{\hbar c} \frac{B l_e^2}{2} \right) \Psi$$

$$= \frac{\partial^2 \Psi}{\partial \varphi^2} - 2 \left(\frac{ie}{\hbar c} \right) \frac{B l_e^2}{2} \frac{\partial \Psi}{\partial \varphi} + \left(\frac{ie}{\hbar c} \right)^2 \left(\frac{B l_e^2}{2} \right)^2 \Psi \quad ; \quad \Psi \sim e^{im\varphi}$$

$$= -m^2 + \frac{2em}{\hbar c} \frac{B l_e^2}{2} - \left(\frac{e}{\hbar c} \right)^2 \left(\frac{B l_e^2}{2} \right)^2 = - \left(m - \frac{e}{\hbar c} \frac{B l_e^2}{2} \right)^2$$

⇒

$$m \rightarrow m - \left(\frac{e}{\hbar c} \right) \left(\frac{B l_e^2}{2} \right) \equiv v \text{ não inteiro}$$

$$\underbrace{\frac{e}{2\pi\hbar c} \Phi_B}_{\equiv -\Phi_B/\Phi_0} \equiv -\Phi_B/\Phi_0 \quad \Phi_0 \equiv \frac{2\pi\hbar c}{ieI}$$

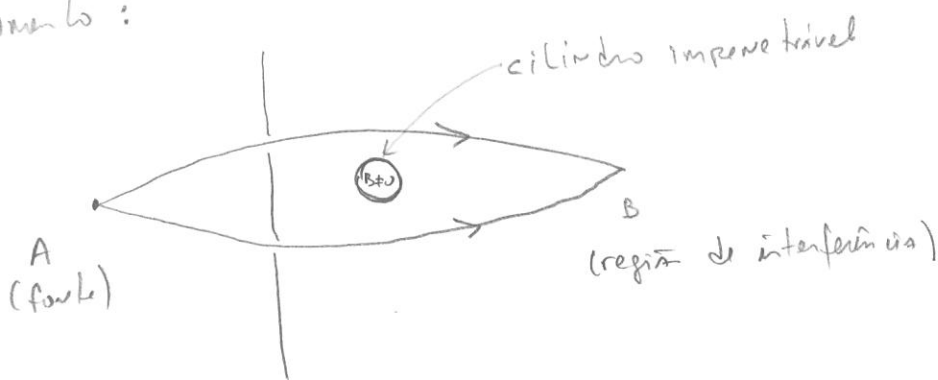
A condição para os autovalores agora é:

$$N_x(Rl_a) J_x(Rl_b) - J_x(Rl_a) N_x(Rl_b) = 0$$

e os zeros nulos de J_x . Note que se $\Phi_B = l \Phi_0$ não há nulos.

Portanto, a respeito de partícula não sentir forças magnéticas, os níveis de energia dependem do fluxo do campo magnético.

O segundo exemplo é similar, mas considera um problema de espalhamento:



Sabemos que $A \neq B$ na região exterior ao cilindro. Usaremos again

formalismo de integrais de trapezóides. A Lagrangiana no presença de \vec{A} é

$$L = \frac{m}{2} \left(\frac{dx}{dt} \right)^2 \rightarrow L = \frac{m}{2} \left(\frac{dx}{dt} \right)^2 + \frac{e}{c} \frac{dx}{dt} \cdot \vec{A}$$

A ação ao longo de uma propagação infinitesimal entre t_n e t_{n+1}

$$S(n, n+1) \rightarrow S(n, n+1) + \frac{e}{c} \int_{t_{n-1}}^{t_n} \frac{dx}{dt} \cdot \vec{A} dt = S(n, n+1) + \frac{e}{c} \int_{\vec{x}_{n-1}}^{\vec{x}_n} \vec{A} \cdot d\vec{l}$$

A ação ao longo de um caminho entre A e B é

$$S \rightarrow S + \frac{e}{c} \int_A^B \vec{A} \cdot d\vec{l}.$$

Cada caminho possui uma "Ação livre" + Ação devida ao campo.

A integral de linha independe do caminho, desde que ele não envolva nenhum fluxo*. Assim podemos escrever

$$\langle B(t_1, t_2) | A \rangle = \int_{ACIMA} D[x_{l+1}] e^{\frac{iS^{(1)}}{\hbar}} e^{\frac{ie}{\hbar c} \int_A \vec{A} \cdot d\vec{l}} + \int_{ABAIXA} D[x_{l+1}] e^{\frac{iS^{(1)}}{\hbar}} e^{\frac{ie}{\hbar c} \int_{ABAIXA} \vec{A} \cdot d\vec{l}}$$

A diferença da fase devida ao campo (existe ainda a diferença de fases devida à diferença da ação livre) é

$$\Delta\phi = \frac{e}{\hbar c} \oint \vec{A} \cdot d\vec{l} = \frac{e}{\hbar c} \oint B$$

A quantidade

$$\frac{2\pi\hbar c}{1e1} = 4.135 \times 10^{-7} \text{ Gauss-cm}$$

é a unidade fundamental de fluxo magnético. Experimentos já foram realizados e mediram o valor da fase prevista.

MONOPÓLOS MAGNÉTICOS - Suponha que exista uma C.M.F.

magnetizada em todos os sentidos

$$\nabla \cdot \vec{B} = 4\pi P_m$$

Para uma C.M.F. pontual na origem terímos

$$\vec{B} = \left(\frac{en}{r^2}\right) \hat{r}$$

é claro que não podemos mais escrever $\vec{B} = \nabla \times \vec{A}$ em todo o espaço, pois isso levaria a $\nabla \cdot \vec{B} = 0$. No entanto, olhando a forma de $\nabla \times \vec{A}$ em esferas

* Veja que $\nabla \times \vec{A}$ é na região externa e $\vec{A} \cdot d\vec{l}$ é como o trabalho de uma força conservativa.

$$\nabla \times A = \hat{r} \left[\frac{1}{r \sin\theta} \frac{\partial}{\partial \theta} (A \rho \sin\theta) - \frac{\partial A_\theta}{\partial \varphi} \right] + \hat{\theta} \frac{1}{r} \left[\frac{1}{\sin\theta} \frac{\partial A_r}{\partial \varphi} - \frac{\partial}{\partial r} (r A_\varphi) \right] + \hat{\varphi} \frac{1}{r} \left[\frac{\partial}{\partial r} (r A_\theta) - \frac{\partial A_r}{\partial \theta} \right]$$

Vemos que

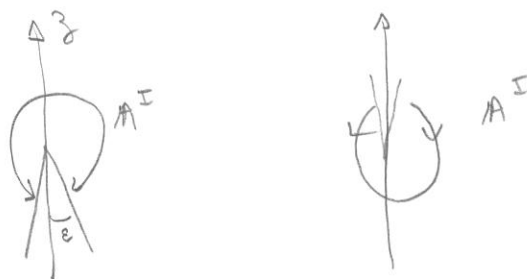
$$A = \frac{em(1-\cos\theta)}{r \sin\theta} \hat{\varphi} \quad \text{dá} \quad \nabla \times A = \frac{em}{r^2} \hat{r}$$

- OBS :
- o fator "1" em "1-cosθ" é colocado por conveniência, mas NÃO é necessário.
 - A é singular p/ $\theta = \pi$ (cômo é negativo)

Podemos então nos valer de um truque: definir 2 A 's:

$$A^I = \frac{em(1-\cos\theta)}{r \sin\theta} \hat{\varphi} \quad \text{para } \theta < \pi - \epsilon$$

$$A^{II} = -\frac{em(1+\cos\theta)}{r \sin\theta} \hat{\varphi} \quad \text{para } \theta > \epsilon$$



Na região formada vizinhança dos eixos z-positivo e z-negativo temos

$$\nabla \times A^I = \nabla \times A^{II} = B$$

e portanto A^I e A^{II} diferem por uma transformação de Gauze!

Usando $A^{II} - A^I = -\frac{2em}{r \sin\theta} \hat{\varphi}$ e

$$\nabla \cdot A = \hat{r} \frac{\partial A_r}{\partial r} + \hat{\theta} \frac{1}{r} \frac{\partial A_\theta}{\partial \theta} + \hat{\varphi} \frac{1}{r \sin\theta} \frac{\partial A_\varphi}{\partial \varphi}$$

$$\text{vemos que } \Delta = -2e_m \varphi \quad \text{pt} \quad A^{\text{II}} = A^{\text{I}} + \nabla \Delta,$$

Como vimos, as funções de onda em cada gauze estão dadas por

$$\psi^{\text{II}} = \psi^{\text{I}} e^{\frac{i e \Delta}{\hbar c} x} = \psi^{\text{I}} e^{-\frac{2 i e e_m \varphi}{\hbar c}}$$

$$\text{Impõendo unicidade } \psi^{\text{I}(0)} = \psi^{\text{I}}(0); \quad \psi^{\text{II}(0)} = \psi^{\text{II}}(0) \text{ vemos}$$

$$\text{que } \frac{Z e e_m}{\hbar c} = \pm N, \quad N=0, 1, 2, \dots$$

\Rightarrow A carga magnética, se existir, já se anularia. \cup

quântum e'

$$\frac{\hbar c}{Z|e|} = \left(\frac{137}{2}\right)|e|$$

Existe uma outra maneira de tratar as transformações de Gárgula na mecânica quântica. Sabemos que as funções de onda $\Psi(x,t)$ são definidas a menor de um fator global. Assim, a função

$$\tilde{\Psi}(x,t) = e^{i\theta} \Psi(x,t) ; \quad \theta = \text{const.}$$

descreve o mesmo sistema físico que $\Psi(x,t)$. Se $\Psi(x,t)$ satisfaz a equação de Schrödinger

$$-\frac{\hbar^2}{2m} \frac{\partial^2 \Psi}{\partial x^2} + V\Psi = i\hbar \frac{\partial \Psi}{\partial t}$$

é fácil ver que $\tilde{\Psi}$ satisfaz exatamente a mesma equação.

No entanto, podemos fazer uma suposição mais arriscada

$$i\tilde{\Psi}(x,t) = e^{i\phi(x,t)} \Psi(x,t)$$

definindo

$$\tilde{\Psi}(x,t) = e^{-i\phi(x,t)} \Psi(x,t)$$

A diferença entre $\tilde{\Psi}$ e Ψ ainda é uma fase, mas agora essa fase depende do ponto x e do tempo t . Sob que condições a fase descrita por $\tilde{\Psi}$ é a mesma descrita por Ψ ?

física descrita por $\tilde{\Psi}$ é a mesma descrita por Ψ ? Para descobrir a resposta precisamos encontrar a equação que $\tilde{\Psi}$

satisfaz:

$$i\hbar \frac{\partial \tilde{\Psi}}{\partial t} = i\hbar e^{-i\phi} \frac{\partial \Psi}{\partial t} + \hbar \frac{\partial \phi}{\partial t} e^{-i\phi} \tilde{\Psi} = e^{-i\phi} \left(i\hbar \frac{\partial \Psi}{\partial t} + \hbar \frac{\partial \phi}{\partial t} \tilde{\Psi} \right)$$

$$\tilde{\nabla}^2 \tilde{\Psi} = e^{-i\phi} \left\{ (\nabla - i\nabla \phi)^2 \Psi \right\} \quad (\text{prove!})$$

Ents., se Ψ satisfaz a equação de Schrödinger $\tilde{\Psi}$

devemos ter

$$ik \frac{\partial \tilde{\Psi}}{\partial t} = -\frac{\hbar^2}{2m} [(\nabla - i\omega \mathbf{P})^2] \tilde{\Psi} + [V - \hbar \frac{\partial P}{\partial t}] \tilde{\Psi}$$

que não é a Eq. de Schrödinger. No entanto, suponha que

a equação inicial de Ψ seja

$$ik \frac{\partial \Psi}{\partial t} = -\frac{\hbar^2}{2m} [(\nabla + iA)^2 \Psi] + V\Psi$$

Neste caso a equação de $\tilde{\Psi}$ será

$$ik \frac{\partial \tilde{\Psi}}{\partial t} = -\frac{\hbar^2}{2m} [(\nabla + i(A - \omega P))^2] \tilde{\Psi} + [V - \hbar \frac{\partial P}{\partial t}] \tilde{\Psi}$$

que é a equação original para

$$\tilde{A} = A - \omega P$$

$$\tilde{V} = V - \hbar \frac{\partial P}{\partial t}$$

$$ik \frac{\partial \tilde{\Psi}}{\partial t} = -\frac{\hbar^2}{2m} [(\nabla + i\tilde{A})^2] \tilde{\Psi} + \tilde{V} \tilde{\Psi}$$

que são exatamente as transformações sobre os potenciais A e P

que não afetam os campos E e B . Desta forma, a imposição

de que a física descrita por funções que diferem de um fóton seja

a mesma implica na existência do electromagnetismo.

A menor implicação da existência de um spinor podemos inferir através da invariância por

transformações mais completas e isso gera campos mais completos ligados às forças fraca e forte.